



Ressonância Magnética Nuclear - RMN

Espectroscopia

Lucas Colucci Ducati

22 de maio de 2018

ducati@iq.usp.br - Sala 321 - Bloco 3

Sumário

1. Constante de Acoplamento Indireta Spin-Spin J - Continuação
2. RMN de ^{13}C
3. Espectros de ^1H com Acoplamentos 2J e 3J
4. Exercícios

Constante de Acoplamento Indireta Spin-Spin J - Continuação

RMN de ^{13}C

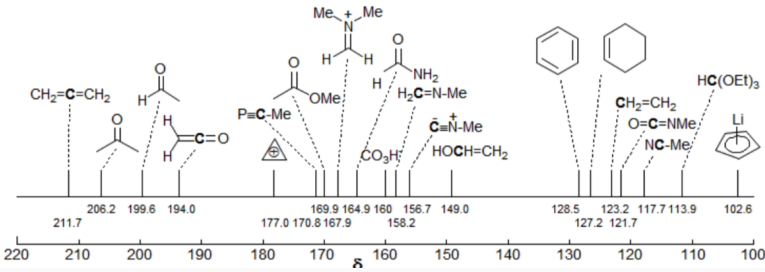
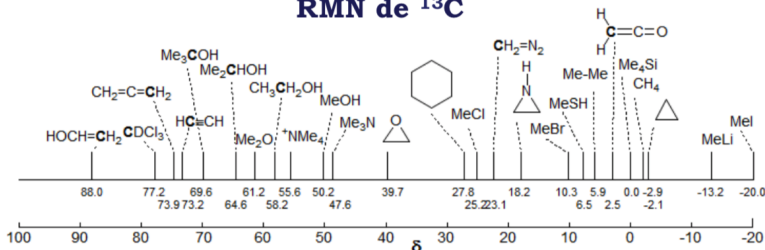
Características dos núcleo de ^{13}C e ^1H

Tabela 1: Propriedades do núcleo de ^{13}C e ^1H

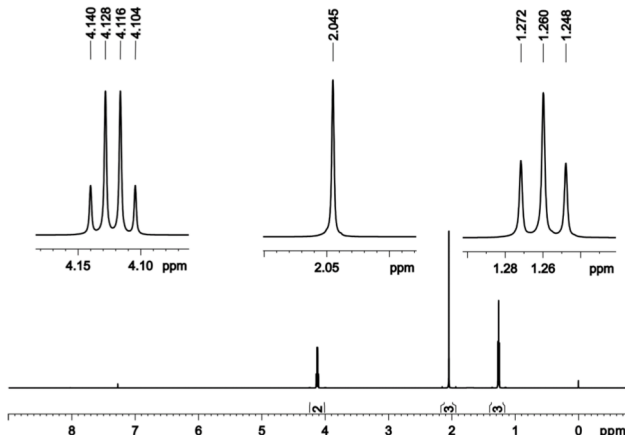
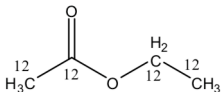
	^{13}C	^1H
Abundância natural	1%	99,99%
Spin (I)	$\frac{1}{2}$	$\frac{1}{2}$
Sensibilidade	1	$5,87 \times 10^3$
Razão magnetogírica (γ / rad s $^{-1}$ T $^{-1}$)	$6,7 \times 10^7$	$26,7 \times 10^7$
Frequência (7,04 T)	75 MHz	300 MHz

Escala de Deslocamento Químico de ^{13}C

RMN de ^{13}C



Espectro de ^1H do Acetato de Etila

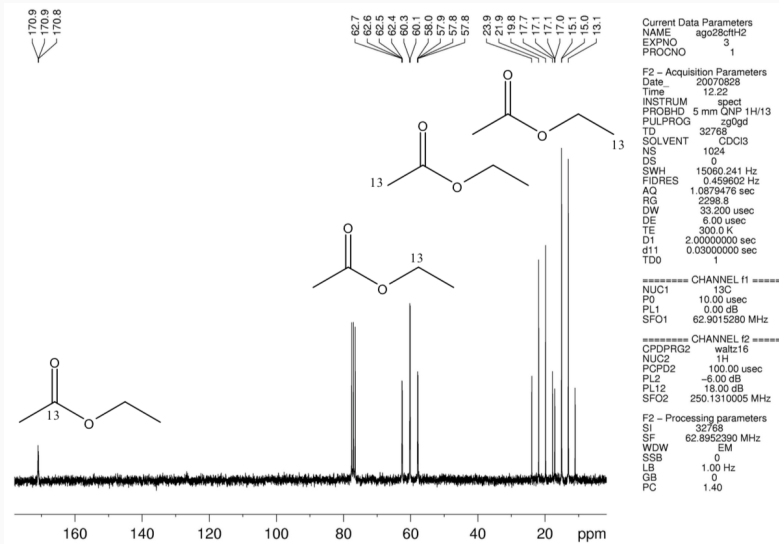


Current Data Parameters
NAME ethyl acetate
EXPNO 1
PROCNO 1

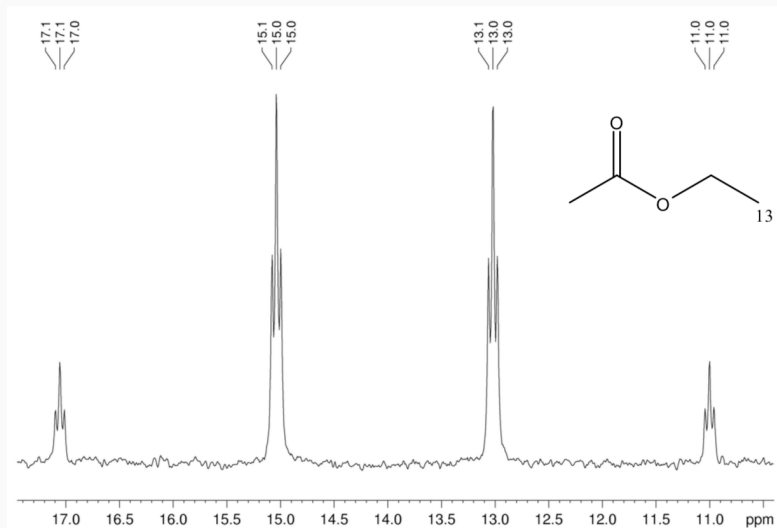
F2 - Acquisition Parameters
Date 20160914
Time 11.20 h
INSTRUM spect
PROBHD ZB222_0032 (PH
PULPROG zg30
TD 65536
SOLVENT CDCl₃
NS 16
DS 0
SWH 5859.375 Hz
FIDRES 0.178814 Hz
AQ 5.5924053 sec
RG 80.6
DW 85.333 usec
DE 10.00 usec
TE 297.5 K
D1 1.0000000 sec
TD0 1
SFO1 600.1724754 MHz
NUC1 1H
P1 7.25 usec
PLW1 9.0000000 W

F2 - Processing parameters
SI 131072
SF 600.1700000 MHz
WDW EM
SSB 0
LB 0.50 Hz
GB 0
PC 1.00

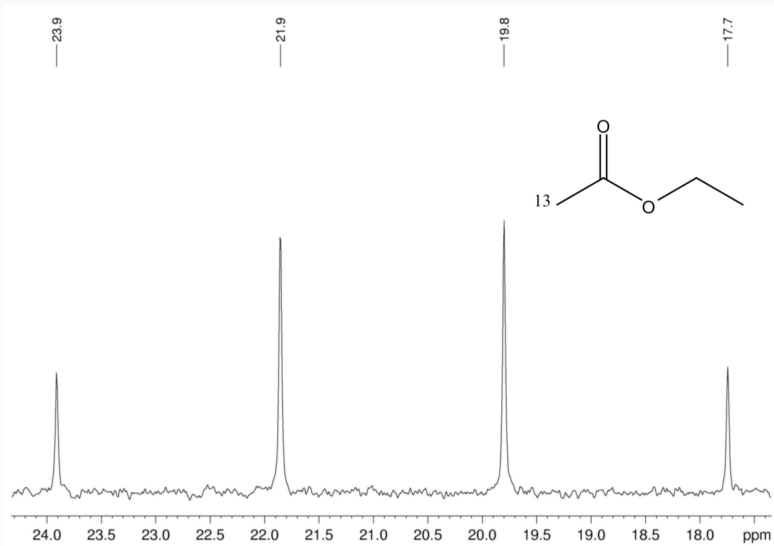
Espectro de ^{13}C Acoplado (de ^1H) do Acetato de Etila



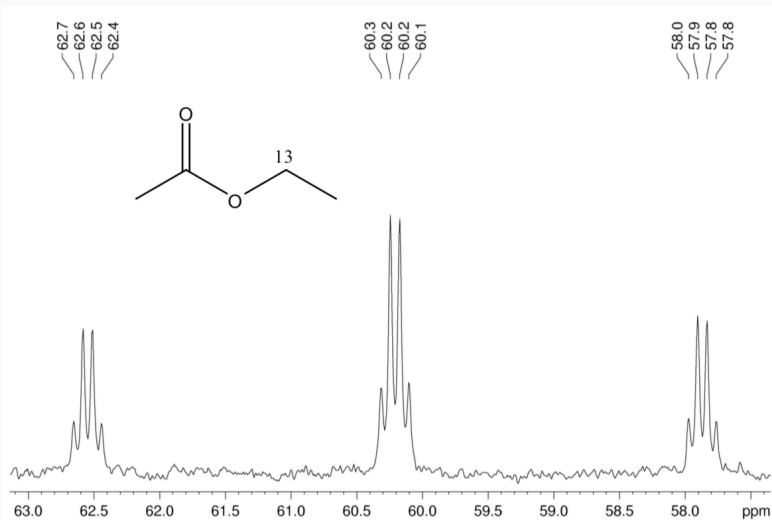
Espectro de ^{13}C Acoplado (de ^1H) do Acetato de Etila



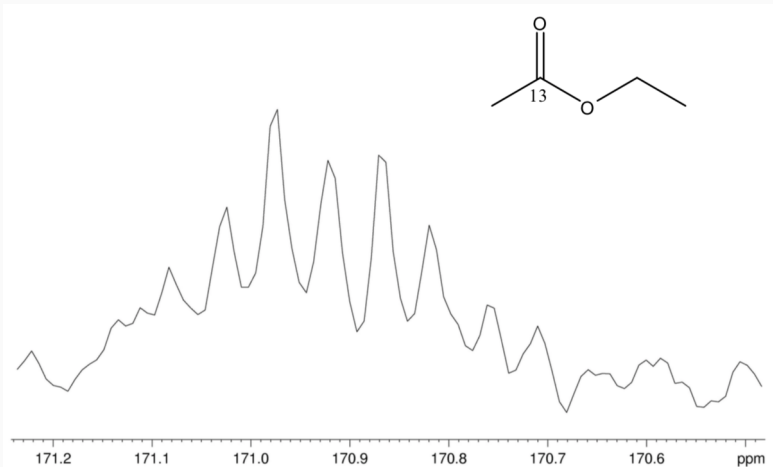
Espectro de ^{13}C Acoplado (de ^1H) do Acetato de Etila



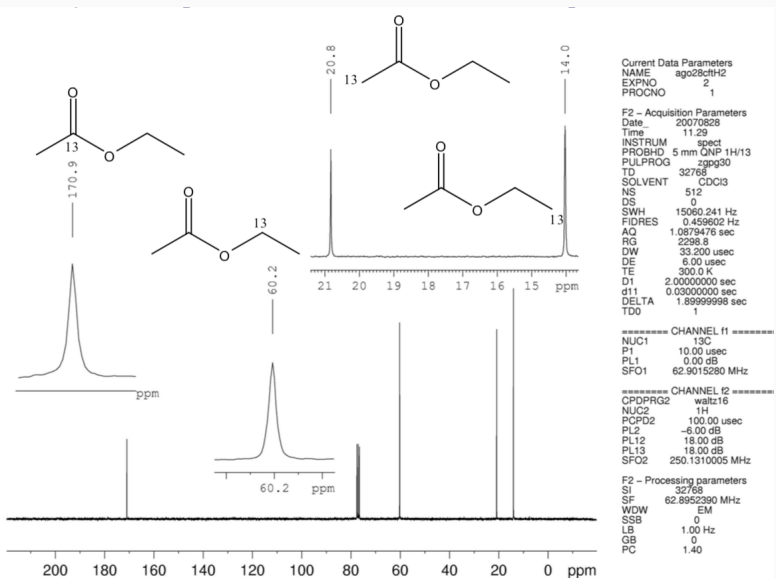
Espectro de ^{13}C Acoplado (de ^1H) do Acetato de Etila



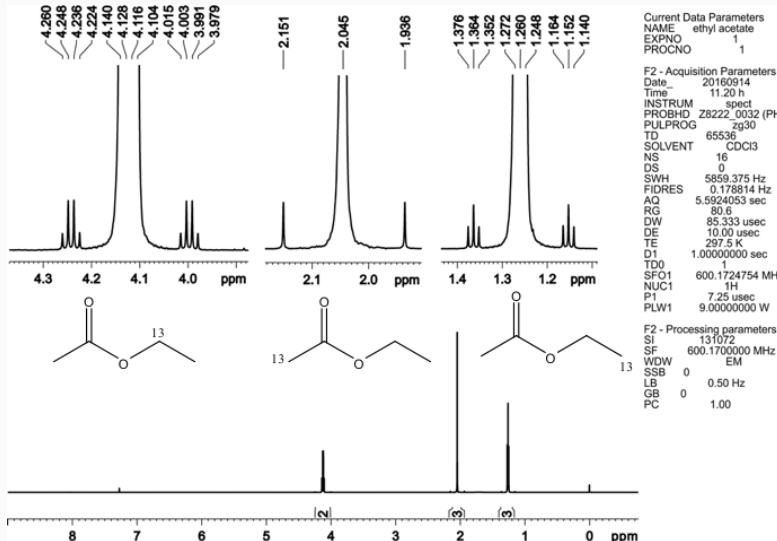
Espectro de ^{13}C Acoplado (de ^1H) do Acetato de Etila



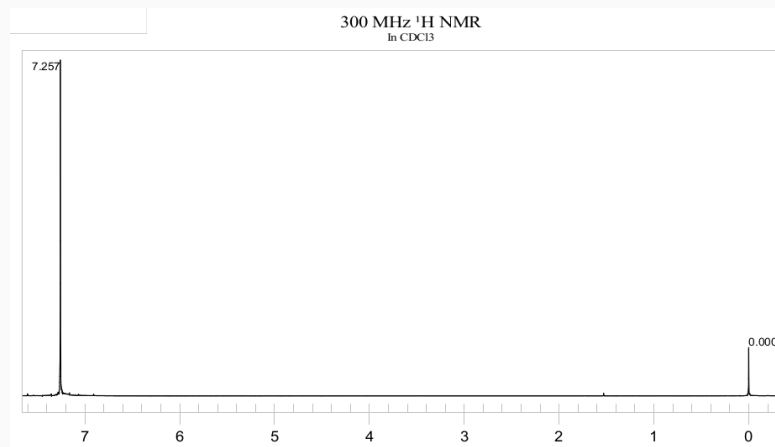
Espectro de ^{13}C Desacoplado (de ^1H) do Acetato de Etila



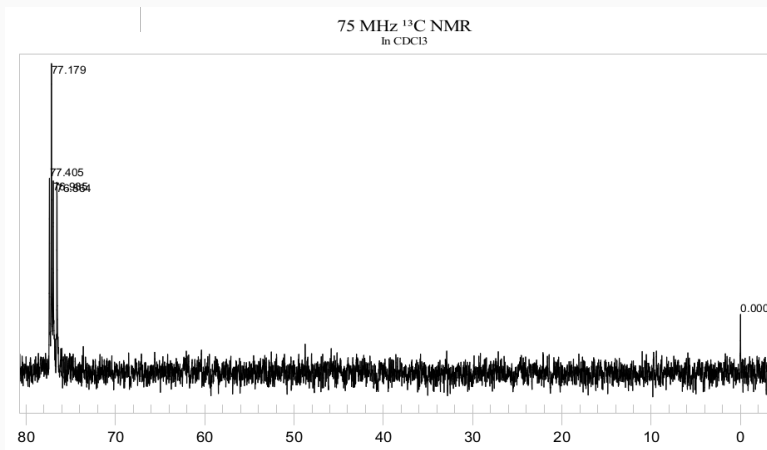
Espectro de ^1H do Acetato de Etila - Picos Satélites



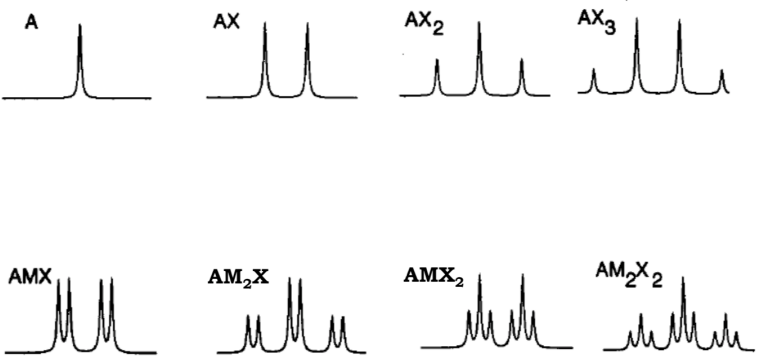
Solventes no Espectro de ^1H - $\text{CDCl}_3 + \text{CHCl}_3$



Solventes no Espectro de ^{13}C - $\text{CDCl}_3 + \text{CHCl}_3$



Padrão dos Acoplamentos



Mecanismo do Acoplamento Spin-Spin

- Como se dá a transmissão do acoplamento?
 - via elétrons da ligação
 - há 4 contribuições não relativísticas: FC, SD, PSO e DSO
 - mais importante é o contato de Fermi (FC) para ^1H e ^{13}C
- Contato de Fermi (FC)
 - interação nuclear de spins entre A e B envolve elétrons da ligação A–B
 - atualmente não precisa haver uma ligação formal
 - há mecanismos através de ligações e espaço
- Considerando a ligação H–C e $\mu_H \uparrow$
 - sendo $\mu_H \uparrow$:
 - o elétron \bar{e} da ligação σ próximo de H terá $\mu_{\bar{e}} \downarrow$
 - o elétron vizinho ao C terá $\mu_{\bar{e}} \uparrow$ (*Princípio de Pauli*)
 - logo μ_C será \downarrow :
- μ_H e μ_C são antiparalelos $\rightarrow J > 0$
- $^1J_{\text{CH}}$ é sempre positivo!

Interação Spin-Spin através dos elétrons da ligação C–H

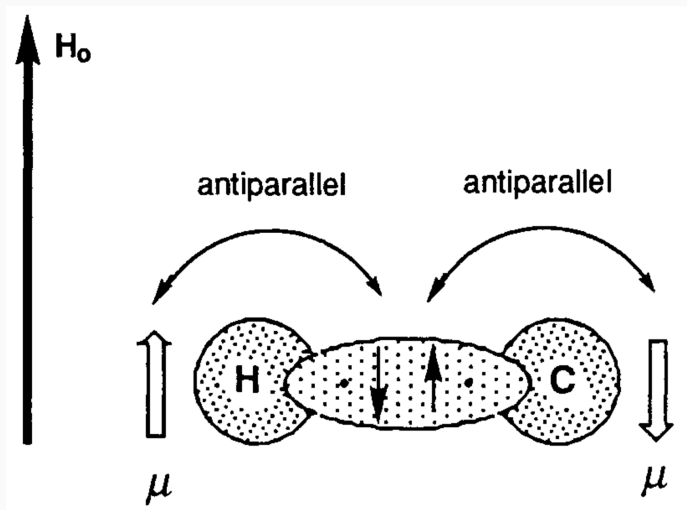


Figura 1: Representação da interação spin-spin para o acoplamento $^1J_{\text{CH}}$.

Mecanismo do Acoplamento Spin-Spin

- Acoplamento a 2 ligações geminal metilênico H_A-C-H_B e $H_0 \uparrow$
 - hidrogênios de grupo $R-CH_2-R'$
- Racionalizamos com a mesma analogia, por exemplo:
 - sendo $\mu_{H_A} \uparrow$:
 - o elétron \bar{e} da ligação σ próximo de H terá $\mu_{\bar{e}} \downarrow$
 - o elétron vizinho ao C, nesta mesma ligação terá $\mu_{\bar{e}} \uparrow$
 - o elétron da ligação gemial perto do C terá $\mu_{\bar{e}} \uparrow$
 - o elétron vizinho próximo ao H_B terá $\mu_{\bar{e}} \downarrow$
 - logo μ_{H_B} será \uparrow
- μ_{H_A} e μ_{H_B} são paralelos $\rightarrow J < 0$
- Acoplamento geminal é negativo para metilênico

Interação Spin-Spin para hidrogênios geminais $\text{R}-\text{CH}_2-\text{R}'$

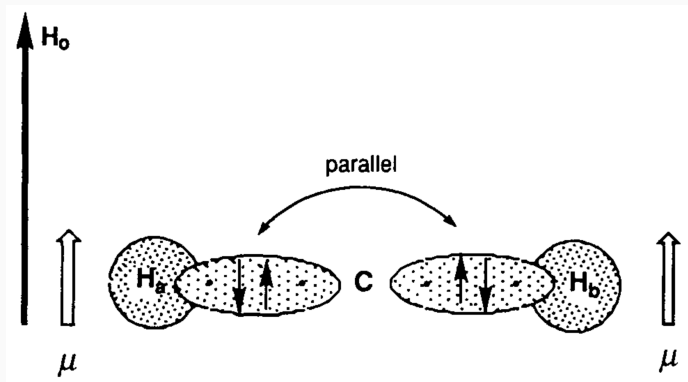
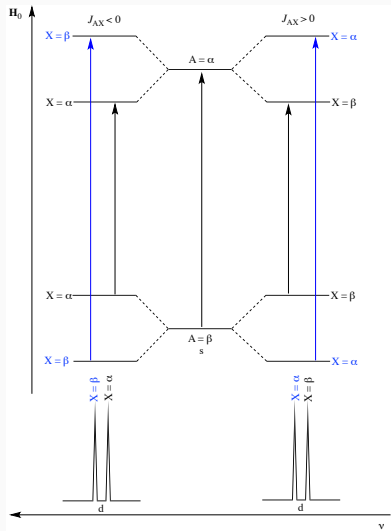


Figura 2: Representação da interação spin-spin para o $^2J_{\text{HH}}$ geminal.

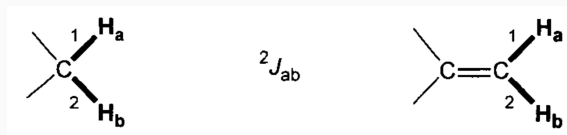
Sinal do Acoplamento Spin-Spin



- Sinais de J são consistentes:
- $^1J_{CH} > 0 - \alpha\beta < \alpha\alpha$
- $^1J_{XY}$ dependerá de X e Y
- $^2J_{HH} < 0$ para C_{sp3}
- $^2J_{HH} > 0$ para C_{sp2}
- $^3J_{HH}$ é *sempre* positivo

Tipos de Acoplamentos $^nJ_{\text{HH}}$ entre núcleos de ^1H

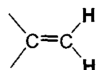
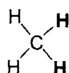
- $n = 1$
 - existe em uma única molécula (H_2)
 - ${}^1J_{\text{HH}} = 280 \text{ Hz}$
 - interessante para teóricos
- $n = 2$
 - acoplamento geminal
 - observado em ${}^1\text{H}$ s quimicamente não equivalentes do grupo CH_2
 - ${}^2J_{\text{HH}} > 0$ ou ${}^2J_{\text{HH}} < 0$
 - depende da hibridização do C e dos substituintes
 - dependência com ângulo $\text{H}-\text{C}-\text{H}$



Efeitos em Acoplamentos Geminais - $^2J_{\text{HH}}$

Efeito do Caráter 's' do C

increased s character

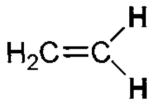


$$^2J_{\text{HH}} = -12.5 \text{ Hz}$$

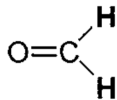
$$^2J_{\text{HH}} = -4.5 \text{ Hz}$$

$$^2J_{\text{HH}} = +2.5 \text{ Hz}$$

Efeito da Eletronegatividade de $\text{H}_2\text{C}=\text{X}$, , $\text{X}=\text{CH}_2$ e O



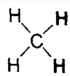
$$^2J_{\text{HH}} = 2.5 \text{ Hz}$$



$$^2J_{\text{HH}} = 41.0 \text{ Hz}$$

Efeitos em Acoplamentos Geminais - $^2J_{\text{HH}}$

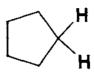
Efeito do Ângulo H-C-H



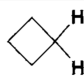
$$^2J_{\text{HH}} = -12.5 \text{ Hz}$$



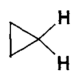
$$-13.0 \text{ Hz}$$



$$-14.0 \text{ Hz}$$



$$-10.0 \text{ Hz}$$



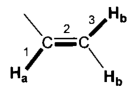
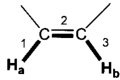
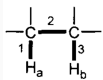
$$-4.0 \text{ Hz}$$

\uparrow tensão no anel \longrightarrow \uparrow ângulo H-C-H \longrightarrow \uparrow $^2J_{\text{HH}}$

Acoplamentos Vicinais - $^3J_{\text{HH}}$

- $n = 3$

- acoplamento vicinal
- ocorre entre ^1H s adjacentes
- mais útil e informativo
- depende do ângulo diedro $\text{H}-\text{C}-\text{C}-\text{H}$
- depende do ângulo $\text{C}-\text{C}-\text{H}$
- depende de $R_{\text{C-C}}$
- depende da eletronegatividade dos substituintes



Efeitos em Acoplamentos Vicinais - $^3J_{\text{HH}}$

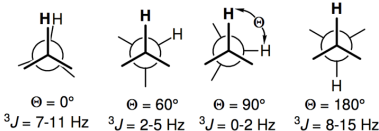
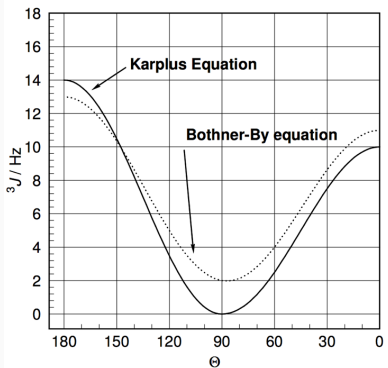
Tipos de $^3J_{\text{HH}}$ no Cicloexano



- 3J axial-axial $\rightarrow ^3J_{aa} = 8,0 - 13,0 \text{ Hz}$
- 3J axial-equatorial $\rightarrow ^3J_{ae} = 2,0 - 5,0 \text{ Hz}$
- 3J equatorial-equatorial $\rightarrow ^3J_{ee} = 2,0 - 5,0 \text{ Hz}$

Efeitos em Acoplamentos Vicinais - ${}^3J_{\text{HH}}$

Curva de Karplus - ${}^3J_{\text{HH}}$ vs diedro H-C-C-H



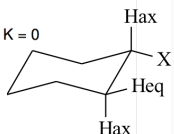
Karplus Equation

$${}^3J_{\text{HH}} = J_0 \cdot \cos^2 \Theta - K$$

$$J_0 = 14 \text{ (90-180°)}, J_0 = 10 \text{ (0-90°)}, K = 0$$

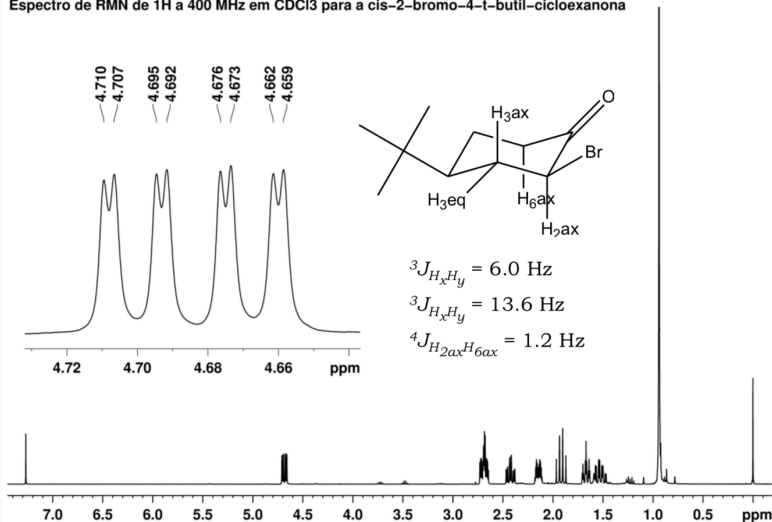
Bothner-By equation

$${}^3J_{\text{HH}} = 7 \cdot \cos \Theta + 5 \cdot \cos 2\Theta$$



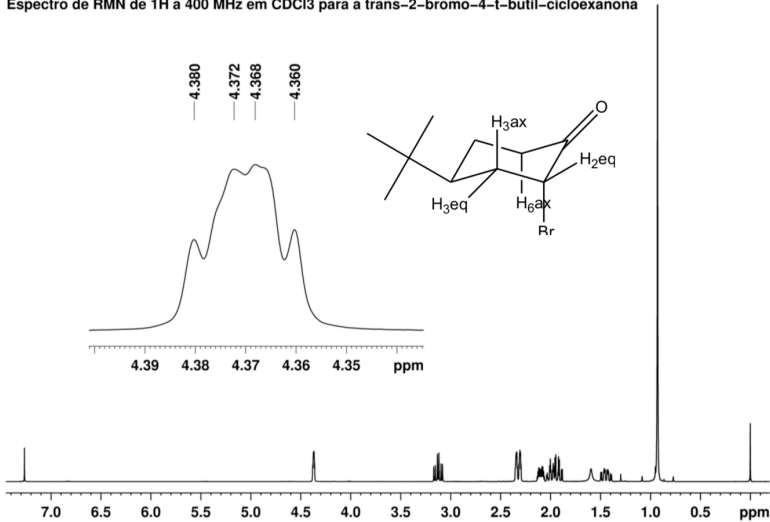
Exemplo da Aplicação da Curva de Karplus para $^3J_{\text{HH}}$

Espectro de RMN de ^1H a 400 MHz em CDCl_3 para a cis-2-bromo-4-t-butyl-cicloexanona



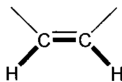
Exemplo da Aplicação da Curva de Karplus para $^3J_{\text{HH}}$

Especro de RMN de ^1H a 400 MHz em CDCl_3 para a trans-2-bromo-4-t-butyl-cicloexanona

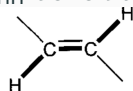


Efeitos em Acoplamentos Vicinais - ${}^3J_{\text{HH}}$

Acoplamento em Olefinas - ${}^3J_{\text{HH}}$ cis vs trans



$$J_{\text{cis}} = 7.0\text{--}10.0 \text{ Hz}$$



$$J_{\text{trans}} = 12.0\text{--}18.0 \text{ Hz}$$

Acoplamento em Ciclo Alcanos - ${}^3J_{\text{HH}}$



$$\begin{aligned} J_{\text{cis}} &= 5.0\text{--}10.0 \text{ Hz} \\ J_{\text{trans}} &= 5.0\text{--}10.0 \text{ Hz} \end{aligned}$$



$$\begin{aligned} J_{\text{cis}} &= 4.0\text{--}12.0 \text{ Hz} \\ J_{\text{trans}} &= 2.0\text{--}10.0 \text{ Hz} \end{aligned}$$

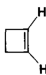


$$\begin{aligned} J_{\text{cis}} &= 7.0\text{--}13.0 \text{ Hz} \\ J_{\text{trans}} &= 4.0\text{--}9.0 \text{ Hz} \end{aligned}$$

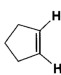
Dependência com o Ângulo H-C-C - ${}^3J_{\text{HH}}$



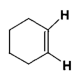
$$0.5\text{--}2.0 \text{ Hz}$$



$$2.5\text{--}4.0 \text{ Hz}$$



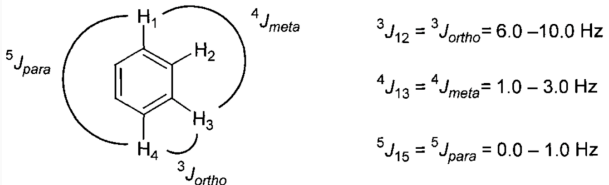
$$5.1\text{--}7.0 \text{ Hz}$$



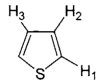
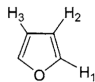
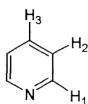
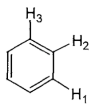
$$8.8\text{--}10.5 \text{ Hz}$$

Acoplamentos Vicinais em Aromáticos - $^3J_{HH}$

Acoplamento em Benzeno Substituídos - $^3J_{HH}$, $^4J_{HH}$ e $^5J_{HH}$



Acoplamento em Heterociclos Aromáticos - $^3J_{HH}$



82

83

84

$$^3J_{12} = 8.0 \text{ Hz}$$

$$^3J_{12} = 4.88 \text{ Hz}$$

$$^3J_{12} = 1.75 \text{ Hz}$$

$$^3J_{12} = 5.0 \text{ Hz}$$

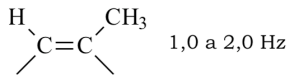
$$^3J_{12} = 7.67 \text{ Hz}$$

$$^3J_{12} = 3.30 \text{ Hz}$$

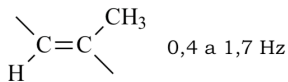
$$^3J_{12} = 3.5 \text{ Hz}$$

Acoplamentos Alílicos - $^3J_{HH}$ e $^4J_{HH}$

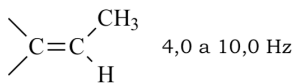
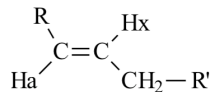
Acoplamentos alílicos ($^3J_{HH}$ e $^4J_{HH}$)



1,0 a 2,0 Hz



0,4 a 1,7 Hz



4,0 a 10,0 Hz

Exemplo de Estudo de Acoplamentos Vicinal - $^3J_{\text{HF}}$

Trabalho Recente Publicado - PCCP, 2016, 18, 24119



PCCP

PAPER

[View Article Online](#)

[View Journal](#) | [View Issue](#)



CrossMark

click for updates

Cite this: *Phys. Chem. Chem. Phys.*,
2016, 18, 24119

NMR spin–spin coupling constants: bond angle dependence of the sign and magnitude of the vicinal $^3J_{\text{HF}}$ coupling†

Renan V. Viesser,^a Lucas C. Ducati,*^b Jochen Autschbach*^c and Cláudio F. Tormena^a

The dependence of the magnitude and sign of $^3J_{\text{HF}}$ on the bond angle in fluoro-cycloalkene compounds is evaluated by electronic structure calculations using different levels of theory, *viz.* DFT, SOPPA(CCSD) and SOPPA(CC2). Localized molecular orbital contributions to $^3J_{\text{HF}}$ are analyzed to assess which orbitals are responsible for $^3J_{\text{HF}}$ and which are the most important coupling transmission mechanisms for each compound. Fluoro-ethylene is used as a model system to evaluate the dependence of the $^3J_{\text{HF}}$ coupling constant on the angle between the $\sigma_{\text{C}_x-\text{F}}$ and $\sigma_{\text{C}_{x'}-\text{H}_F}$ vectors. Through-space and hyperconjugative transmission pathways and ring strain are identified as responsible for the opposite trend between $^3J_{\text{HF}}$ and bond angle, and for the negative signs obtained for the two molecules, respectively. One of the fluorine lone pairs, $\sigma_{\text{C}_{x'}-\text{H}_F}$, $\sigma_{\text{C}_x-\text{F}}$, $\sigma_{\text{C}_{x'}-\text{C}^{\beta}}$ bonding orbitals and the $\sigma^*_{\text{C}_x-\text{F}}$ antibonding orbital are involved in the J -coupling pathways, according to analyses of pairwise-steric and hyperconjugative energies.

Received 12th July 2016,
Accepted 8th August 2016

DOI: 10.1039/c6cp04853f

www.rsc.org/pccp

Exemplo de Estudo de Acoplamentos Vicinal - $^3J_{\text{HF}}$

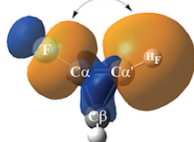
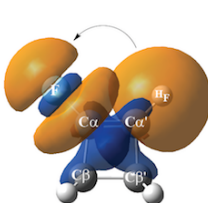
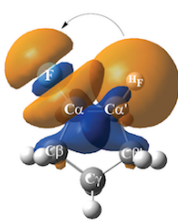
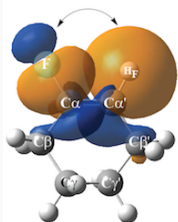
Caminhos da Transmissão do Acoplamento - PCCP, 2016, 18, 24119

$${}^{\text{TS}}J_{\text{HF}} = 10.3 \text{ Hz}$$

$${}^{\text{TB}}J_{\text{HF}} = 5.2 \text{ Hz}$$

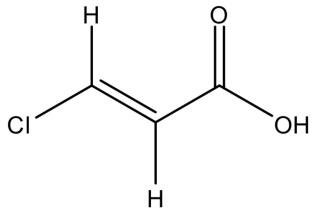
$${}^{\text{TB}}J_{\text{HF}} = 1.7 \text{ Hz}$$

$${}^{\text{TS}}J_{\text{HF}} = -5.6 \text{ Hz}$$

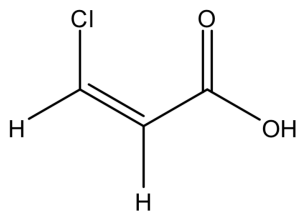


Espectros de ^1H com Acoplamentos 2J e 3J

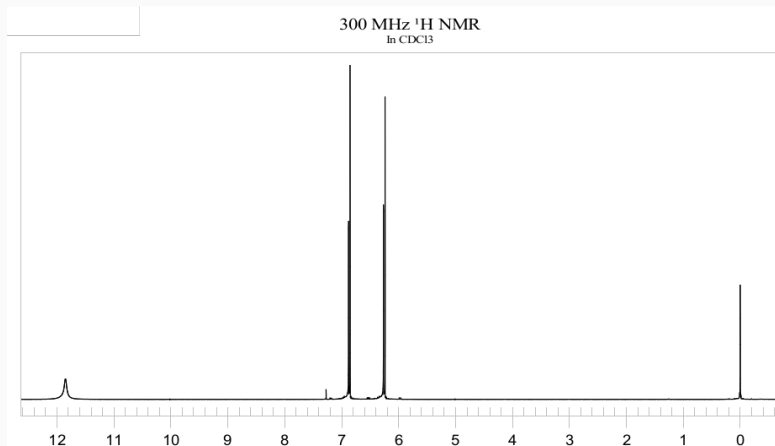
Estruturas do Ácido Cloro Acrílico - cis ou trans?



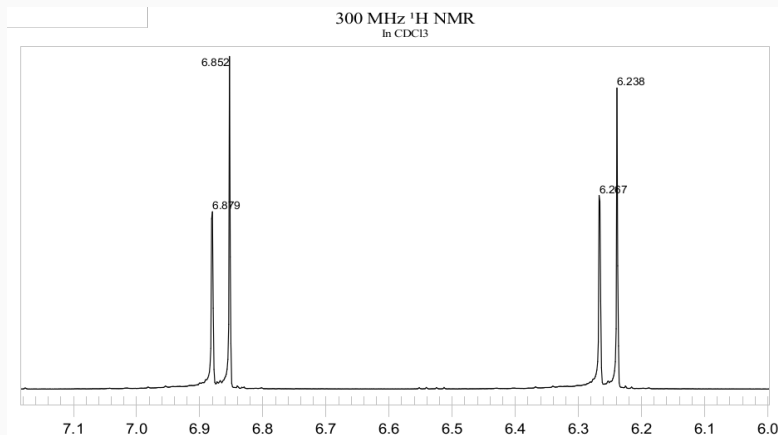
- Teremos para esse espectro de ^1H 3 sinais sendo eles:
- 1 H da OH como um singlet
- 2 doubletos de Hs da olefina
- Curva de Karplus:
 ${}^3J_{\text{HHtrans}} > {}^3J_{\text{HHcis}}$



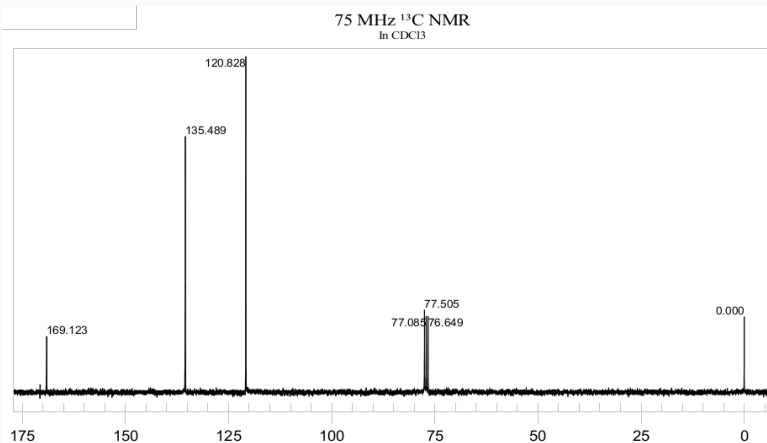
Espectro de ^1H do Ácido Cloro Acrílico - cis ou trans?



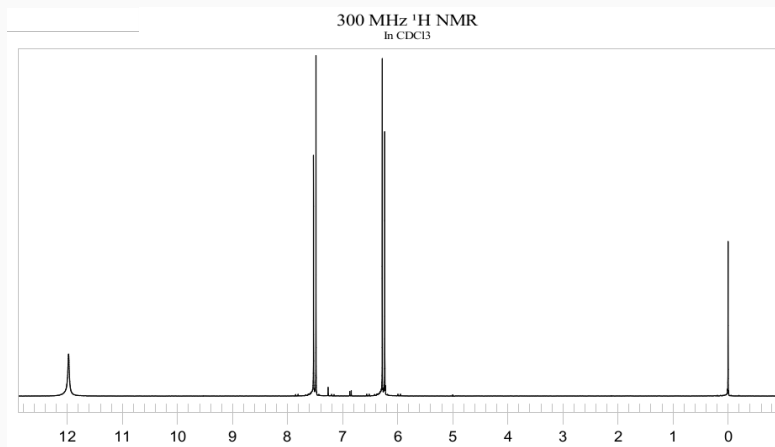
Espectro de ^1H do Ácido Cloro Acrílico - cis ou trans?



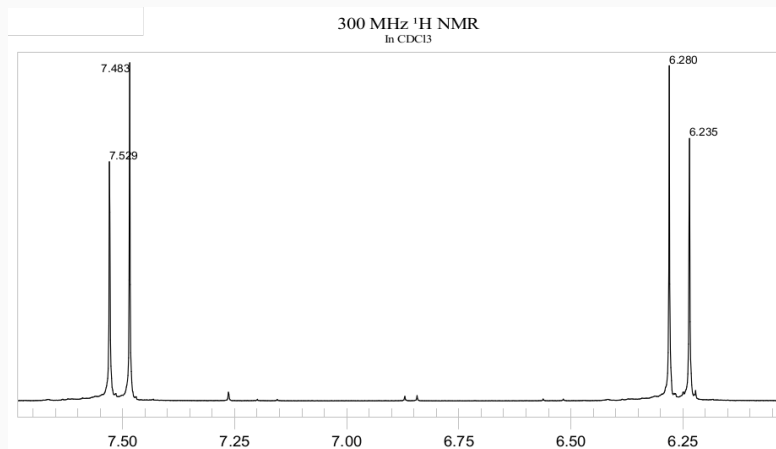
Espectro de ^{13}C do Ácido Cloro Acrílico - cis ou trans?



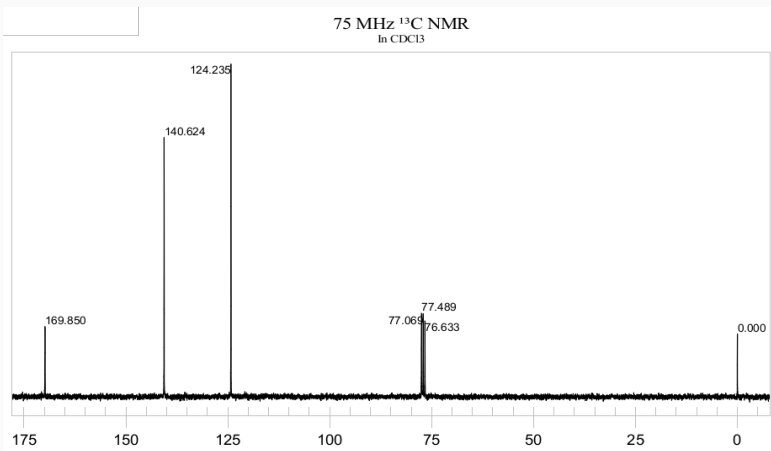
Espectro de ^1H do Ácido Cloro Acrílico - cis ou trans?



Espectro de ^1H do Ácido Cloro Acrílico - cis ou trans?

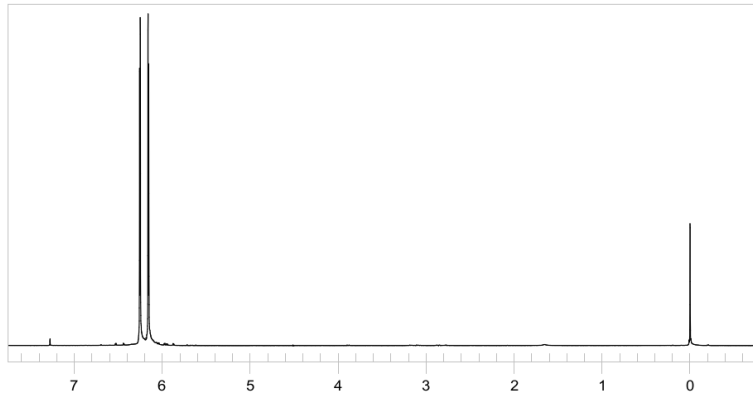


Espectro de ^{13}C do Ácido Cloro Acrílico - cis ou trans?

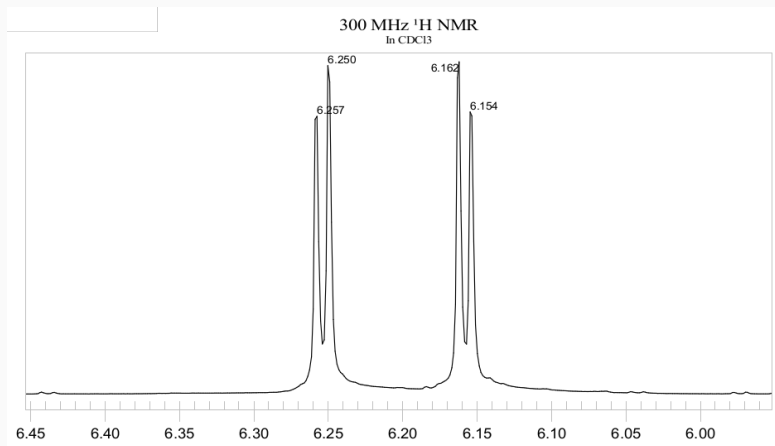


Espectro de ^1H do 2-Cloro Acrilonitrila - $\text{CH}_2=\text{CClCN}$

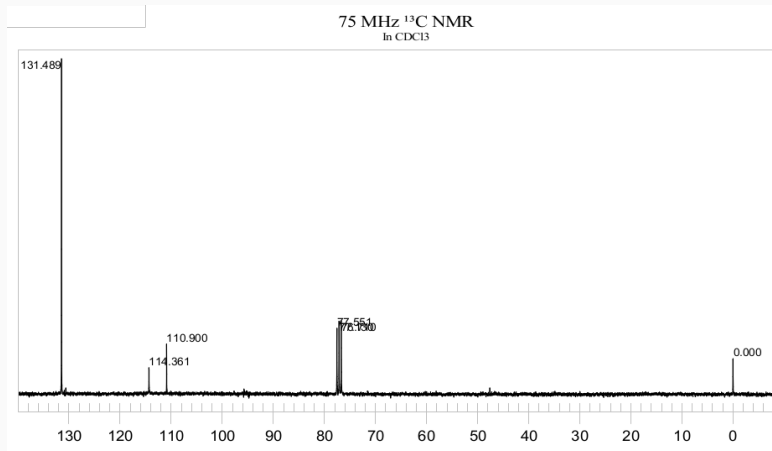
300 MHz ^1H NMR
In CDCl_3



Espectro de ^1H do 2-Cloro Acrilonitrila - $\text{CH}_2=\text{CClCN}$

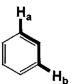
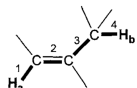


Espectro de ^{13}C do 2-Cloro Acrilonitrila - $\text{CH}_2=\text{CClCN}$



Acoplamentos de Longo Alcance - $^nJ_{\text{HH}}$, $n > 3$

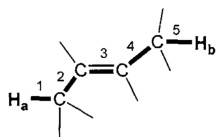
- Acoplamento de longo alcance quando $n > 3$
- $n = 4$
 - observado em compostos cíclicos saturados em especial biciclos
 - ocorre em sistemas alílicos e aromáticos
- $n = 5$
 - observado em sistemas aromáticos e homo alílicos



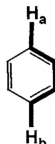
$^4J_{\text{meta}}$



$^4J_{ab}$



$^5J_{ab}$

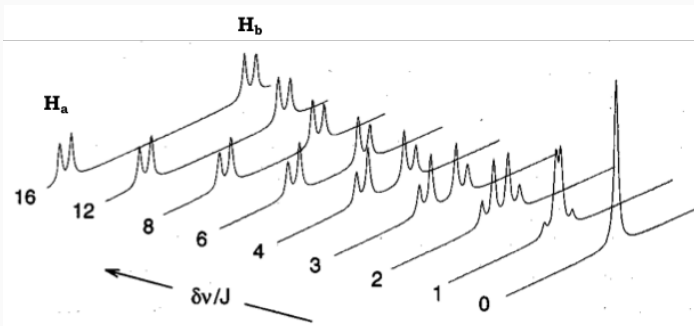


$^5J_{\text{para}}$

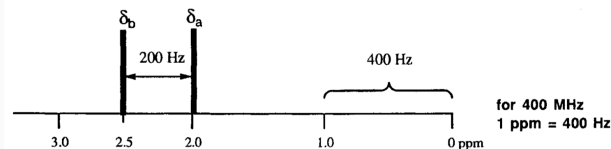
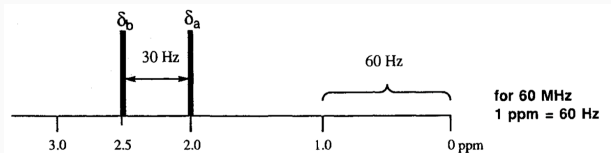
Espectros de 1º e 2º ordem

- Se H_a acopla com H_b e H_c sendo equivalentes ou não
 - usamos a regra da multiplicidade e triângulo de Pascal para intensidades
 - $\Delta\delta$ em Hz é bem maior que J_{ab}
 - $J_{ab} = J_{ac}$
- $$\frac{\delta H_a - \delta H_b}{J_{ab}} \geq 10 \text{ em Hertz}$$
 - espectro de 1º ordem
 - multiplicidade e intensidade comportadas
 - dubleto, tripleto, quarteto, ...
- $$\frac{\delta H_a - \delta H_b}{J_{ab}} < 10 \text{ em Hertz}$$
 - espectro de 2º ordem
 - multiplicidade e intensidade não seguem as regras anteriores
 - desdobramentos são chamados de multipletos

Espectros de 1° e 2° ordem

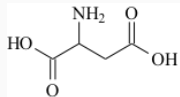


Espectros de 1° e 2° ordem

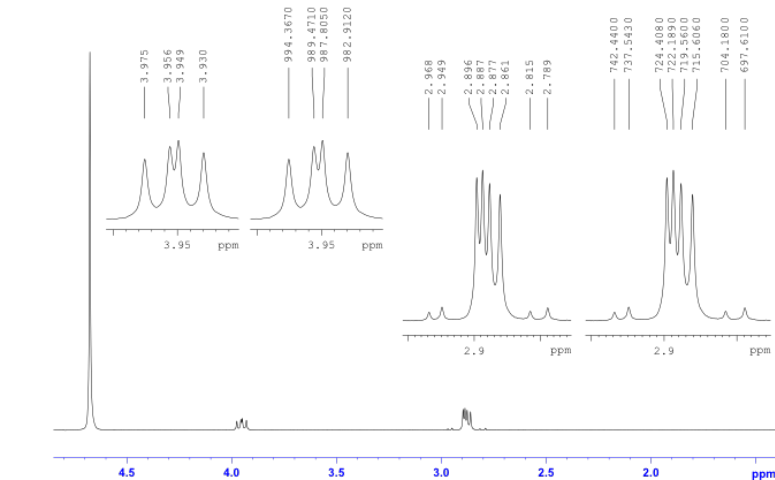


- 60 MHz: $\Delta\delta_{H_aH_b} = 0,5 \text{ ppm}$ e $J_{ab} = 10 \text{ Hz}$
 - $\frac{(0,5 \times 60)}{10} = 3 \rightarrow \text{espectro de 2º ordem}$
- 400 MHz: $\Delta\delta_{H_aH_b} = 0,5 \text{ ppm}$ e $J_{ab} = 10 \text{ Hz}$
 - $\frac{(0,5 \times 400)}{10} = 20 \rightarrow \text{espectro de 1º ordem}$

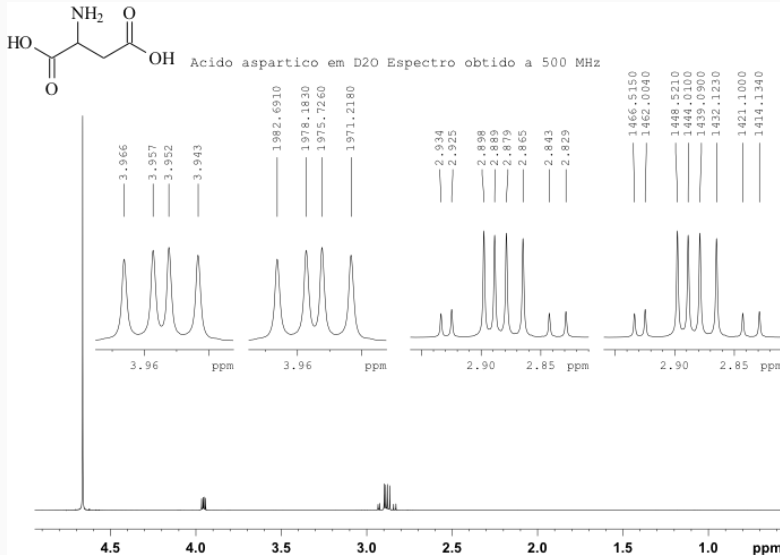
Espectros de ^1H do Ácido Aspartico a 250 MHz



Ácido aspartico em D₂O espectro a 250 MHz



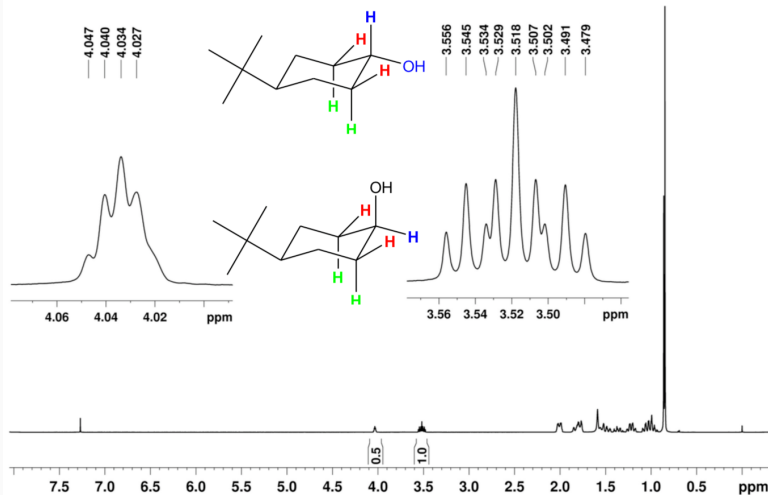
Espectros de ^1H do Ácido Aspartico a 500 MHz



Exercícios

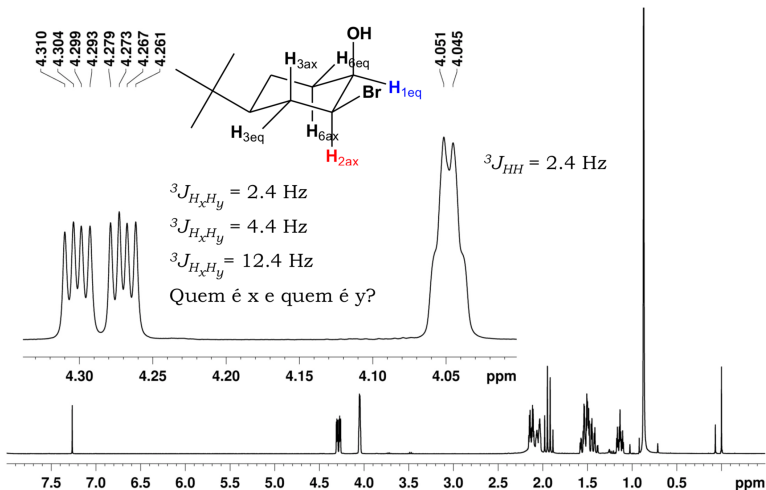
Ex.1: Mistura de Produtos de Reação

Espectro de RMN de ${}^1\text{H}$ a 400 MHz em CDCl_3 para a redução da 4-t-butil-cicloexanona

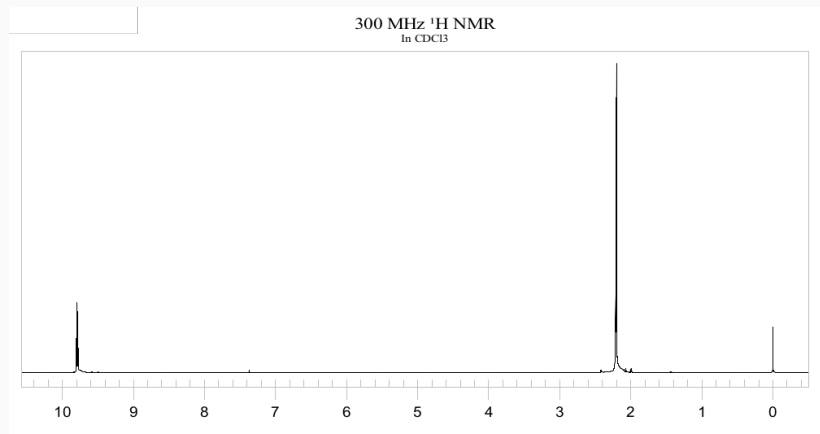


Ex. 2: Espectro de ^1H da cis-2-Bromo-4-T-butyl-cicloexanona

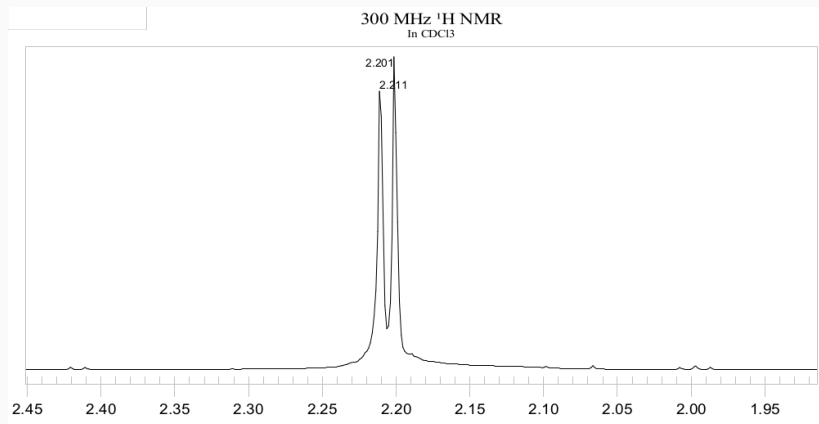
Espectro de RMN de ^1H a 400 MHz para o produto da redução da *cis*-2-bromo-4-t-butyl-cicloexanona.



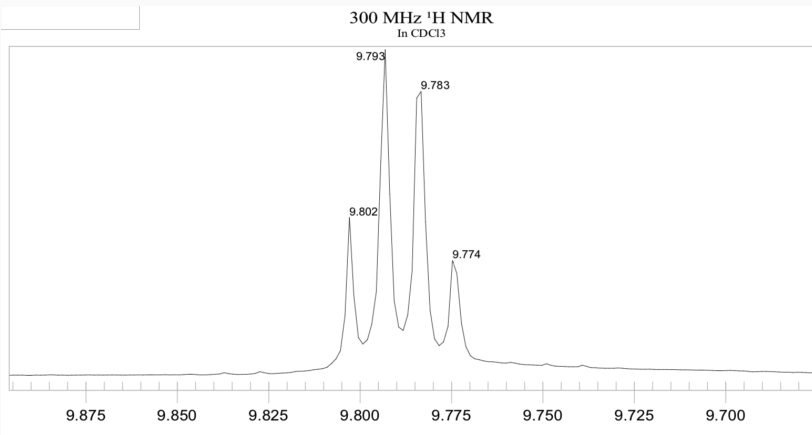
Ex. 3: Espectro de ^1H do $\text{C}_2\text{H}_4\text{O}$



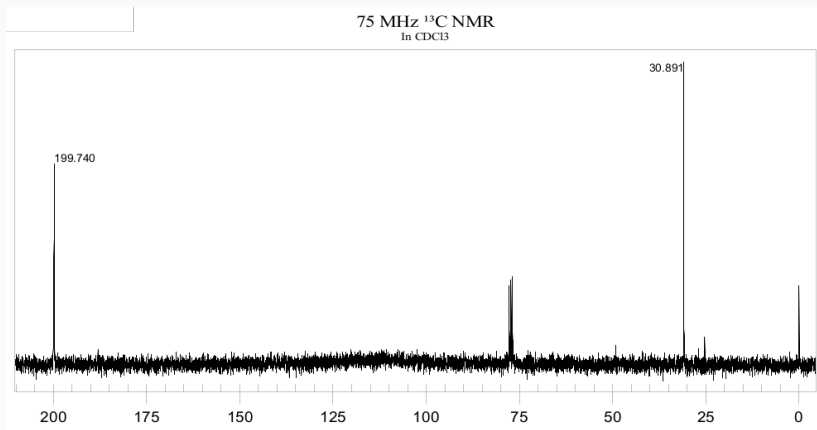
Ex. 3: Espectro de ^1H do $\text{C}_2\text{H}_4\text{O}$



Ex. 3: Espectro de ^1H do $\text{C}_2\text{H}_4\text{O}$

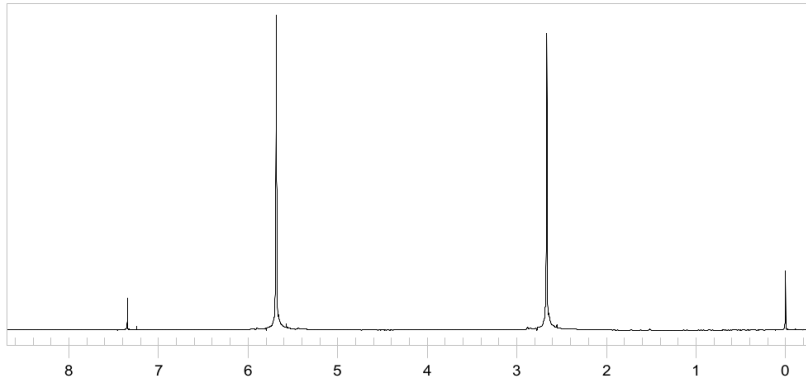


Ex. 3: Espectro de ^{13}C do $\text{C}_2\text{H}_4\text{O}$

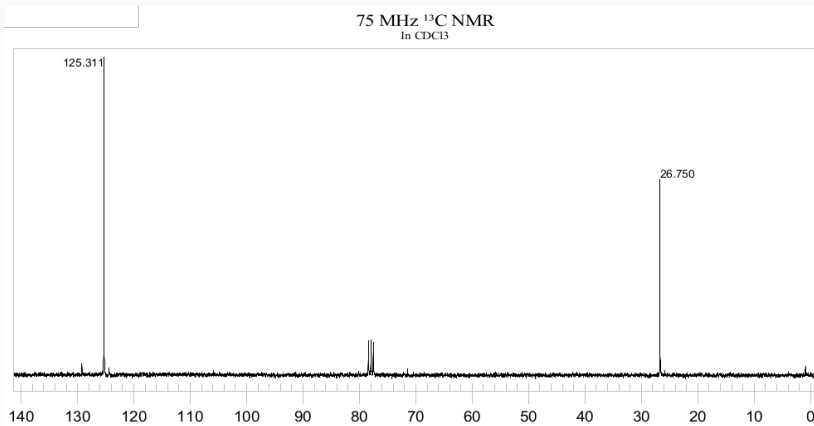


Ex. 4: Espectro de ^1H do C_6H_8

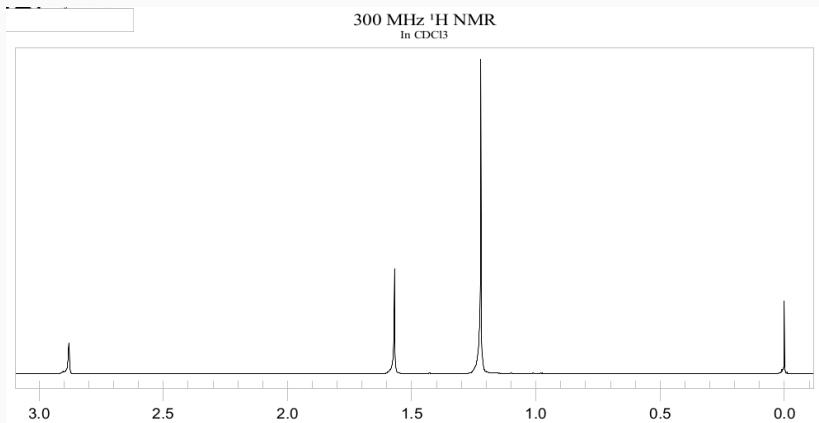
300 MHz ^1H NMR
In CDCl_3



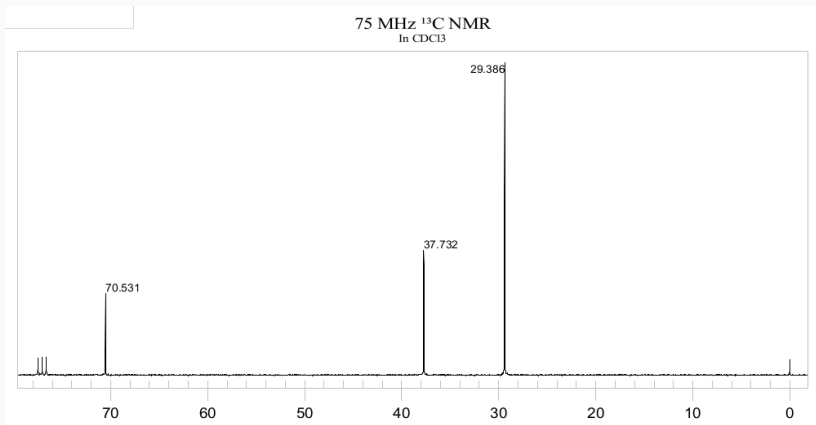
Ex. 4: Espectro de ^{13}C do C_6H_8



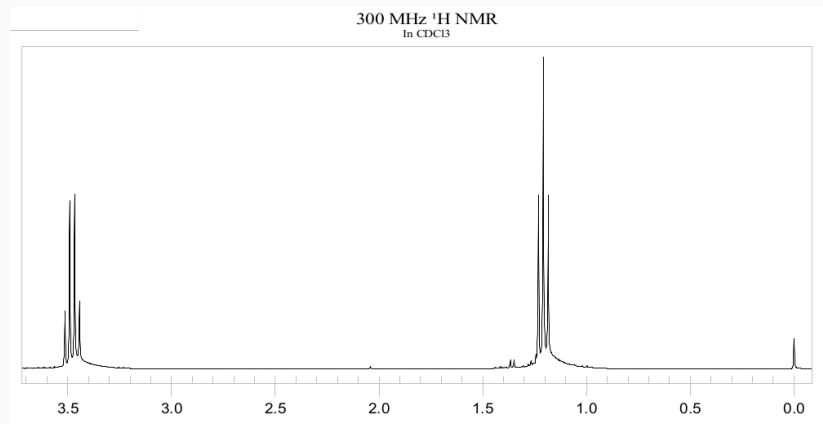
Ex. 5: Espectro de ^1H do $\text{C}_8\text{H}_{18}\text{O}_2$



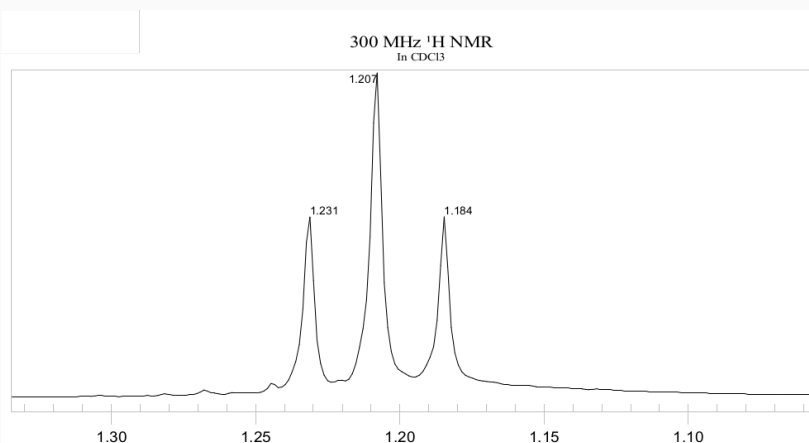
Ex. 5: Espectro de ^{13}C do $\text{C}_8\text{H}_{18}\text{O}_2$



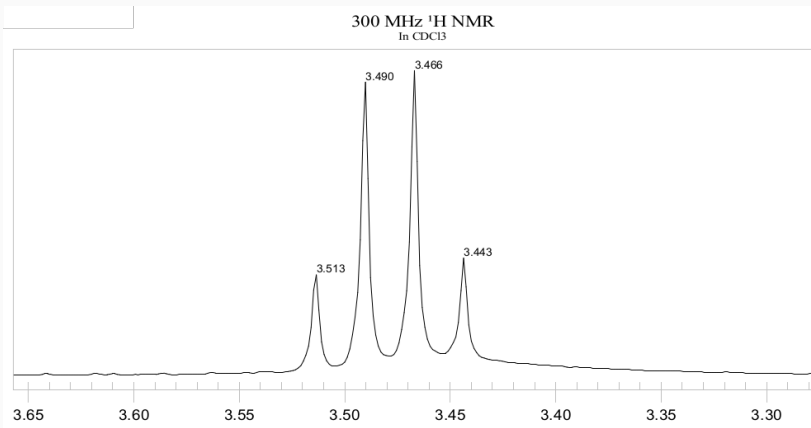
Ex. 6: Espectro de ^1H do $\text{C}_4\text{H}_{10}\text{O}$



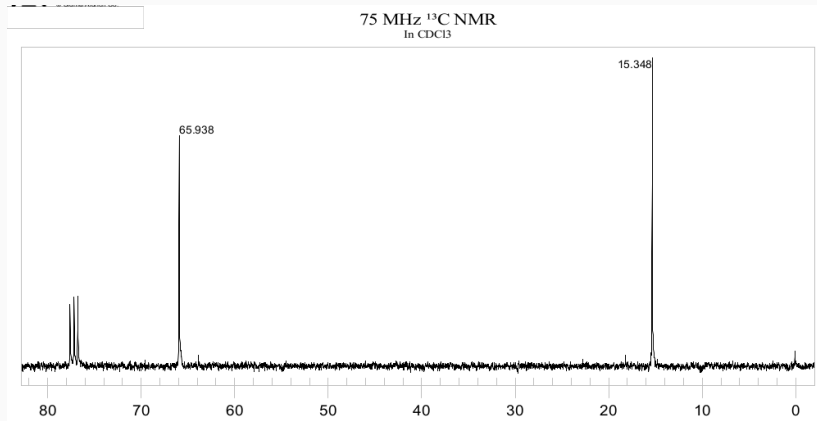
Ex. 6: Espectro de ^1H do $\text{C}_4\text{H}_{10}\text{O}$



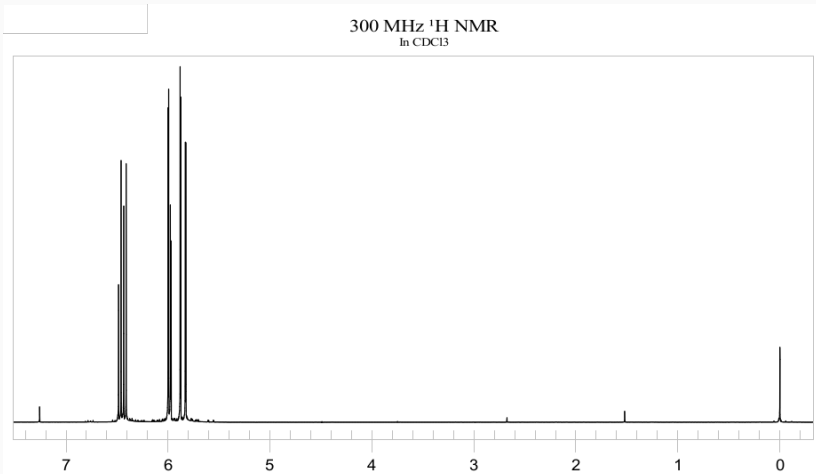
Ex. 6: Espectro de ^1H do $\text{C}_4\text{H}_{10}\text{O}$



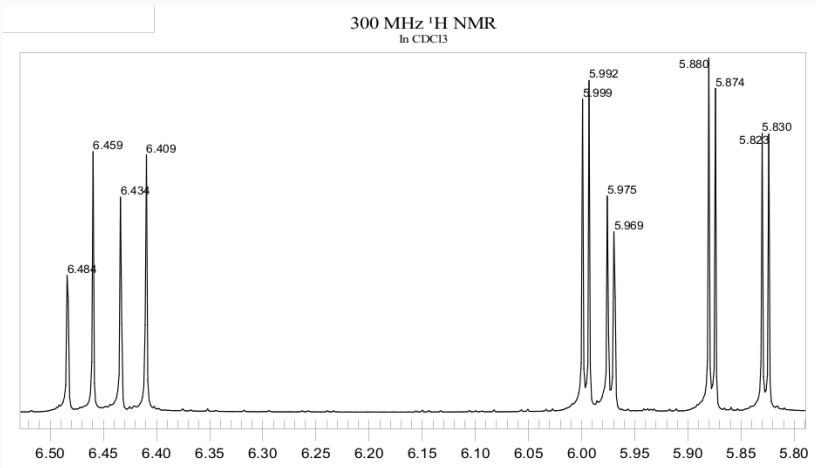
Ex. 6: Espectro de ^{13}C do $\text{C}_4\text{H}_{10}\text{O}$



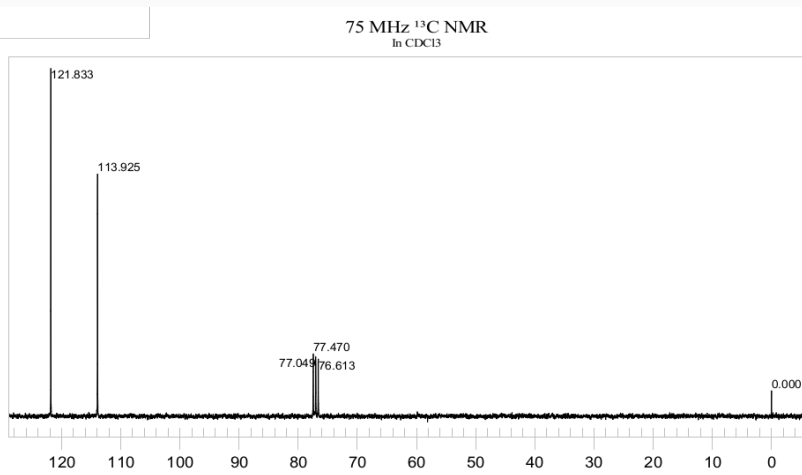
Ex. 7: Espectro de ^1H do $\text{C}_2\text{H}_3\text{Br}$



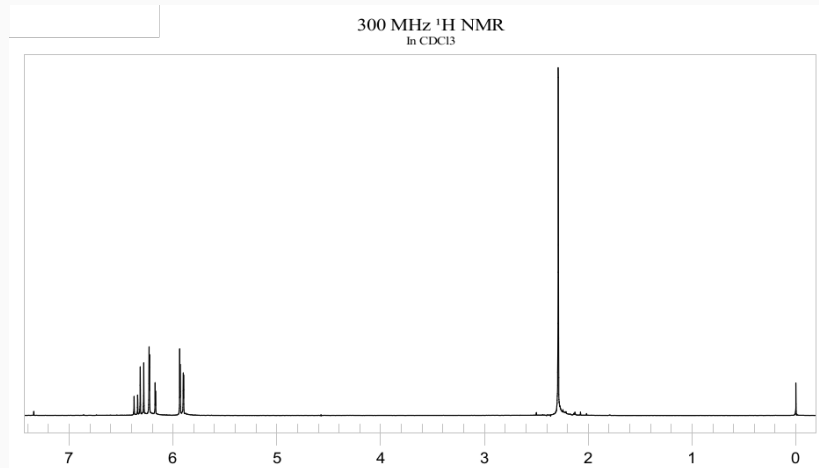
Ex. 7: Espectro de ^1H do $\text{C}_2\text{H}_3\text{Br}$



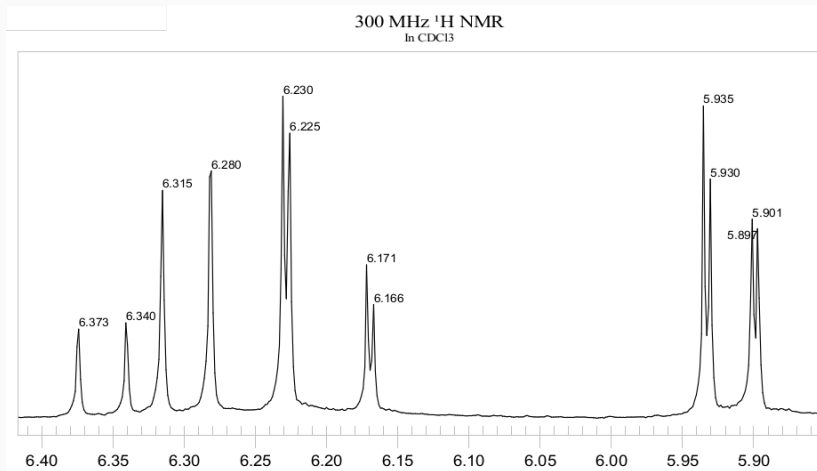
Ex. 7: Espectro de ^{13}C do $\text{C}_2\text{H}_3\text{Br}$



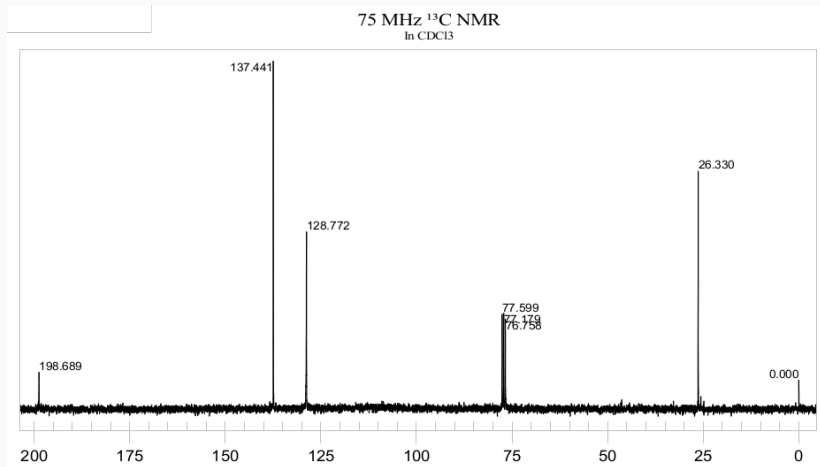
Ex. 8: Espectro de ^1H do $\text{C}_4\text{H}_6\text{O}$



Ex. 8: Espectro de ^1H do $\text{C}_4\text{H}_6\text{O}$

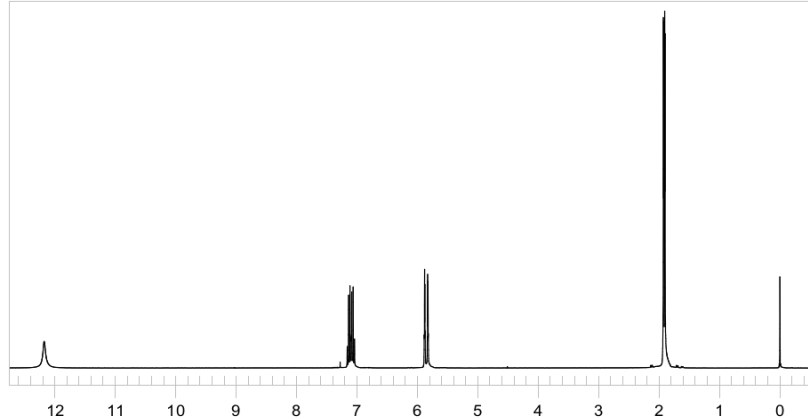


Ex. 8: Espectro de ^{13}C do $\text{C}_4\text{H}_6\text{O}$

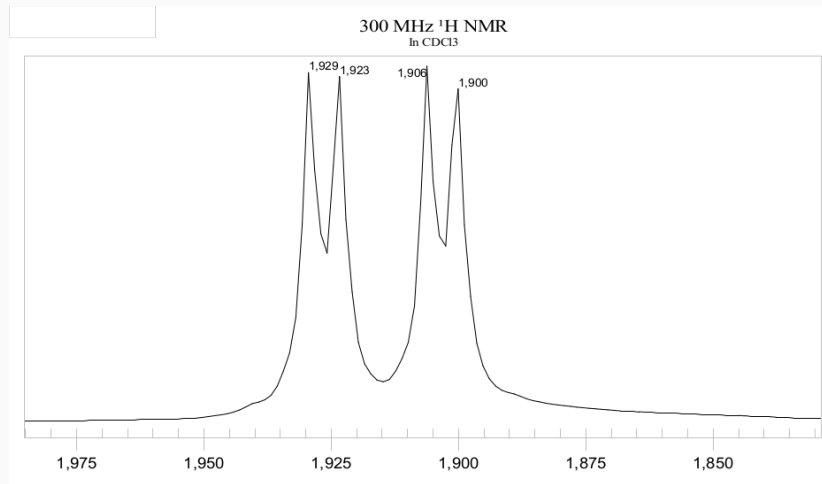


Ex. 9: Espectro de ^1H do $\text{C}_4\text{H}_6\text{O}_2$

300 MHz ^1H NMR
in CDCl_3

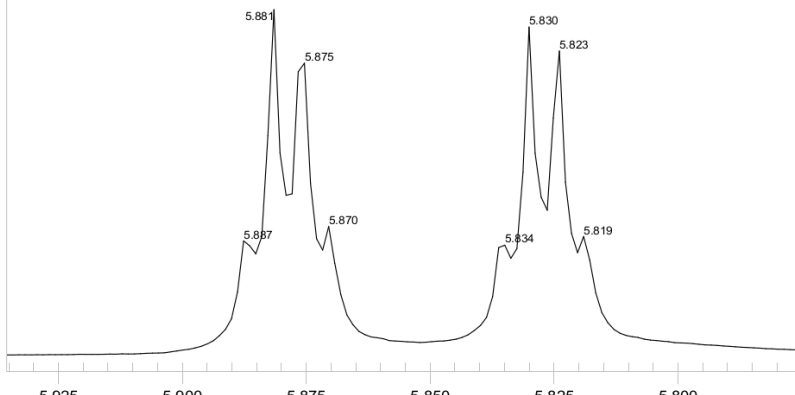


Ex. 9: Espectro de ^1H do $\text{C}_4\text{H}_6\text{O}_2$

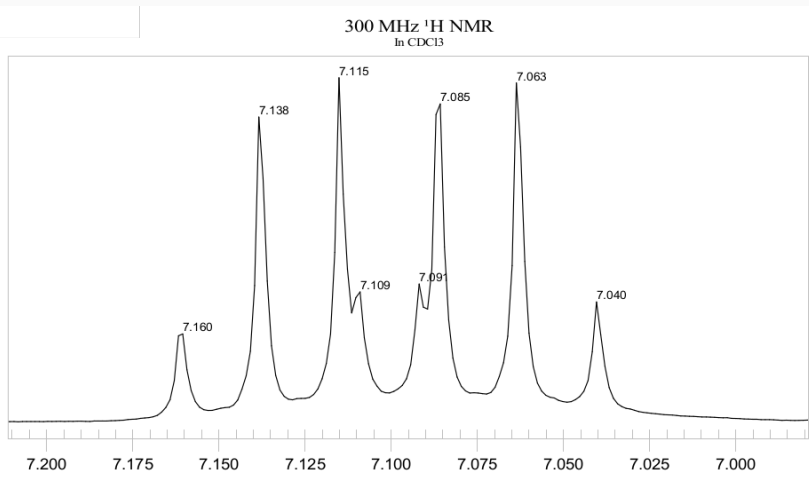


Ex. 9: Espectro de ^1H do $\text{C}_4\text{H}_6\text{O}_2$

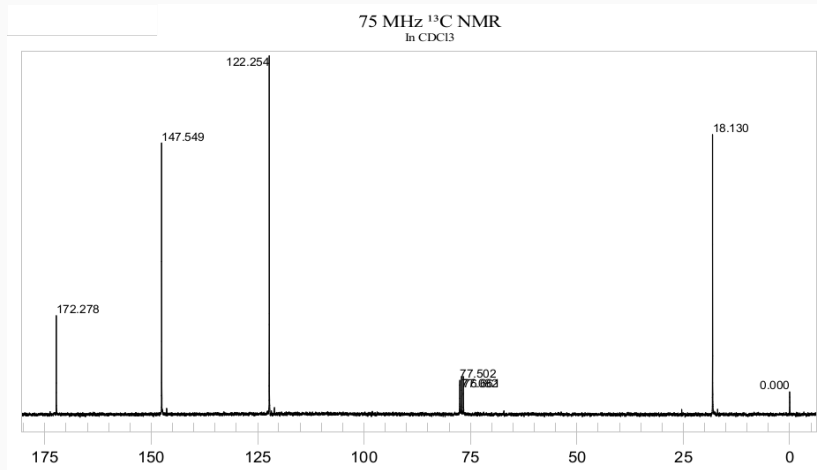
300 MHz ^1H NMR
In CDCl_3



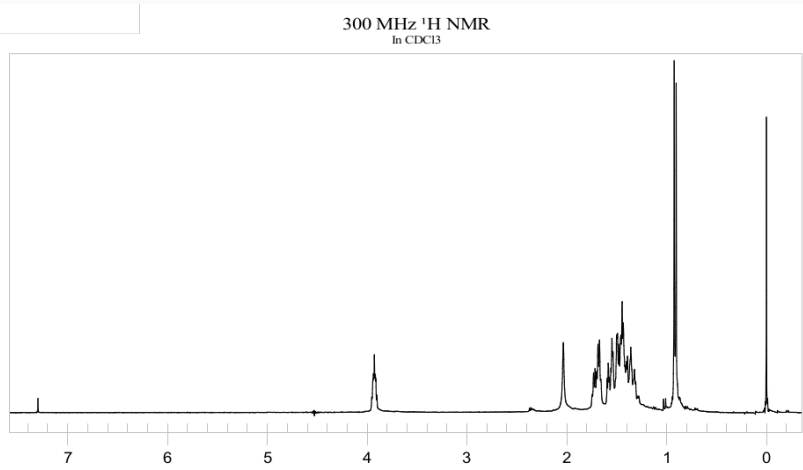
Ex. 9: Espectro de ^{13}C do $\text{C}_4\text{H}_6\text{O}_2$



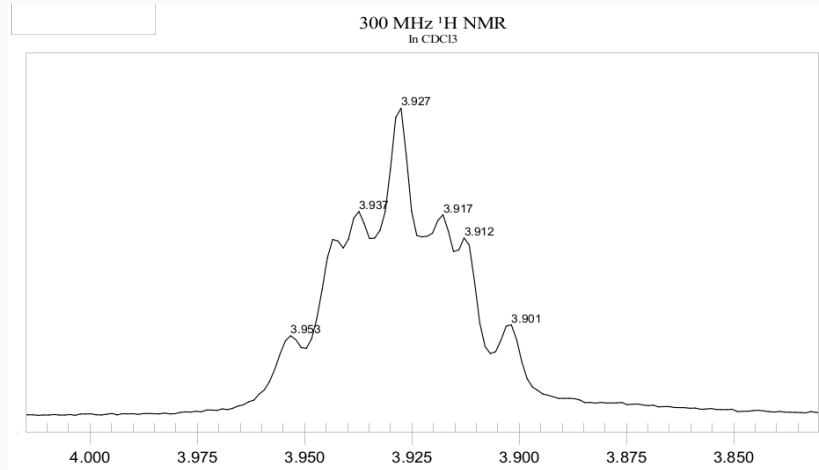
Ex. 9: Espectro de ^{13}C do $\text{C}_4\text{H}_6\text{O}_2$



Ex. 10: Espectro de ^1H do $\text{C}_7\text{H}_{14}\text{O}$ - Isômero A

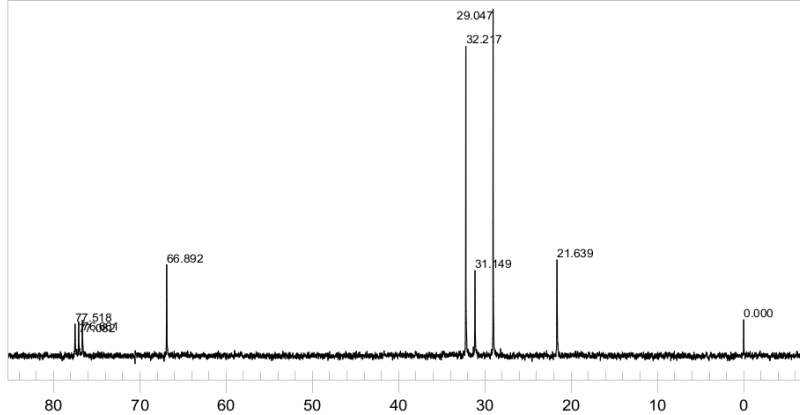


Ex. 10: Espectro de ^1H do $\text{C}_7\text{H}_{14}\text{O}$ - Isômero A

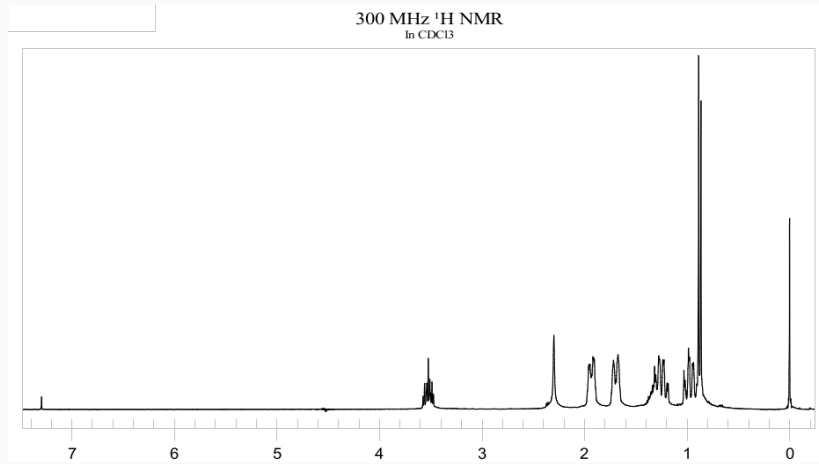


Ex. 10: Espectro de ^{13}C do $\text{C}_7\text{H}_{14}\text{O}$ - Isômero A

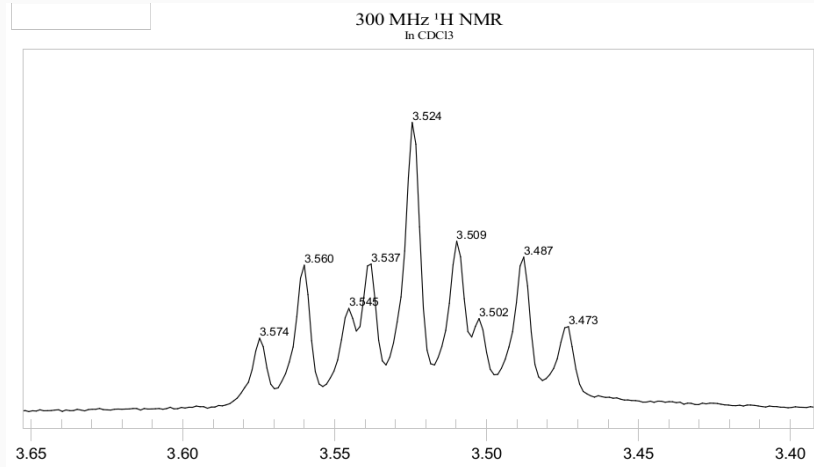
75 MHz ^{13}C NMR
in CDCl_3



Ex. 10: Espectro de ^1H do $\text{C}_7\text{H}_{14}\text{O}$ - Isômero B



Ex. 10: Espectro de ^1H do $\text{C}_7\text{H}_{14}\text{O}$ - Isômero B



Ex. 10: Espectro de ^{13}C do $\text{C}_7\text{H}_{14}\text{O}$ - Isômero B

